



Gutachten zur Standorteignung von Windenergieanlagen
nach DIBt 2012 für den Windpark Fretzdorfer Heide
Deutschland

Bericht-Nr.: I17-SE-2021-312 Rev.04



Gutachten zur Standorteignung von WEA nach DIBt 2012 für den
Windpark Fretzdorfer Heide

Bericht-Nr.: I17-SE-2021-312 Rev.04

Auftraggeber: SAB Projektentwicklung GmbH & Co KG
Berliner Platz 1
D- 25524 Itzehoe

Auftragnehmer: I17-Wind GmbH & Co. KG
Robert-Koch-Straße 29
25813 Husum
Tel.: 04841 – 875 96 -0
E-Mail: mail@i17-wind.de
Internet: www.i17-wind.de

Datum: 17. April 2023

Haftungsausschluss und Urheberrecht

Das vorliegende Gutachten wurde unabhängig, unparteiisch und nach bestem Wissen und Gewissen nach derzeitigem Stand der Technik erstellt. Für vom Auftraggeber und vom Anlagenhersteller bereitgestellte Daten, die nicht von der I17-Wind GmbH & Co. KG erhoben oder ermittelt wurden, kann keine Gewähr für deren Korrektheit übernommen werden. Diese werden als richtig vorausgesetzt.

Urheber des vorliegenden Gutachtens zur Standorteignung von WEA nach DIBt 2012 ist die I17-Wind GmbH & Co. KG. Der Auftraggeber erhält nach § 31 Urheberrechtsgesetz das einfache Nutzungsrecht, welches nur durch Zustimmung des Urhebers übertragen werden kann. Eine Bereitstellung zum uneingeschränkten Download in elektronischen Medien ist ohne gesonderte Zustimmung des Urhebers nicht gestattet.

Akkreditierung

Die I17-Wind GmbH & Co. KG ist nach DIN EN ISO/IEC 17025:2018 durch die Deutsche Akkreditierungsstelle GmbH (DAKKS) für die Bereiche „Erstellen von Schallimmissionsprognosen für Windenergieanlagen; Erstellen von Schattenwurfimmissionsprognosen für Windenergieanlagen; Prüfung der Standorteignung von Windenergieanlagen mittels Berechnung (Turbulenzgutachten)“ akkreditiert. Die Registriernummer der Urkunde lautet D-PL-21268-01-00. Diese kann angefragt, oder in der Datenbank der akkreditierten Stellen der DAKKS eingesehen werden.

Die I17-Wind GmbH & Co. KG ist Mitglied im Sachverständigenbeirat des Bundesverbandes WindEnergie (BWE) e.V.

Anmerkung zu Typenprüfung und Anlagenparametern der WEA

Wenn zum Zeitpunkt der Gutachtenerstellung die Typenprüfung oder Einzelprüfung für die geplanten WEA noch nicht vorlag, wurde der Vergleich auf Basis vom Hersteller übermittelter Auslegungswerte der geplanten WEA durchgeführt. Es besteht die Möglichkeit, dass die im Genehmigungsverfahren eingereichten Dokumente bezüglich der Auslegungswerte der betrachteten WEA nicht mit den im vorliegenden Gutachten zitierten Dokumenten übereinstimmen. Die zitierten Dokumente entsprechen dem aktuellen Stand zum Zeitpunkt der Gutachtenerstellung. Bei abweichenden Dokumenten behält das vorliegende Gutachten dennoch seine Gültigkeit, wenn die im Gutachten berücksichtigten Auslegungswerte durch die im Rahmen des Genehmigungsverfahrens eingereichten Auslegungswerte abgedeckt sind. Im Folgenden ist der Begriff Einzelprüfung stets durch den Begriff Typenprüfung mit abgedeckt, auch wenn dies nicht explizit erwähnt wird.

Änderungen der berücksichtigten Anlagenparameter wie c_t -Kurve und Schnelllaufzahl λ sind dem Anlagenhersteller vorbehalten und bedürfen einer neuen Berechnung und Bewertung. Bei einer Änderung der Anlagenparameter gegenüber dem Stand zum Zeitpunkt der Gutachtenerstellung verliert das vorliegende Gutachten seine Gültigkeit.

Revisionsnummer	Datum	Änderung	Verfasser
0	26.08.2021	Erste Ausgabe	Lenz
1	01.12.2022	Aktualisierung der Windparkkonfiguration	Köhler
2	07.03.2023	Aktualisierung der Windparkkonfiguration – Entwurfsbericht zur Lastrechnung	Lenz
3	20.03.2023	Änderung der Leistungskennlinie der neu geplanten WEA – Entwurfsbericht zur Lastrechnung	Lenz
4	17.04.2023	Berücksichtigung von WSM bis zur Vorlage der standortspezifischen Lastrechnung und Einarbeitung einer herstellerunabhängigen Lastrechnung	Lenz

Verfasser:

M. Sc. Kristine Lenz, Sachverständige
Husum, 17.04.2023



Geprüft:

M. Sc. Kevin Gutbrod, Sachverständiger
Husum, 19.04.2023



Freigegeben:

B. Eng. Heiko Pauls, Sachverständiger
Husum, 19.04.2023



Dieses Dokument wurde digital signiert und die Integrität des Dokuments wurde überprüft. Das zugehörige Zertifikat kann von der I17-Wind GmbH & Co. KG auf Anfrage gerne zur Verfügung gestellt werden.

Inhaltsverzeichnis

1	Vorbemerkung.....	7
1.1	Allgemeines	7
1.2	Geführte Nachweise.....	7
1.2.1	Nachweis der Standorteignung an topografisch nicht komplexen Standorten durch Vergleich der Windbedingungen.....	8
1.2.2	Nachweis der Standorteignung an topografisch komplexen Standorten durch Vergleich der Windbedingungen.....	8
1.2.3	Verfahren bei Überschreitungen – Nachweis durch Vergleich der Lasten	9
1.3	Abweichungen von den Richtlinien.....	10
1.4	Modellunsicherheiten	11
2	Aufgabenstellung und Standort	12
2.1	Umfang des Gutachtens	12
2.2	Standortbeschreibung.....	12
2.3	Auslegungswindbedingungen der geplanten WEA	12
3	Vergleich der Windbedingungen.....	16
3.1	Grundlagen.....	16
3.2	Vergleich v_{ave} und v_{m50}	17
3.2.1	Vergleich der mittleren Windgeschwindigkeit v_{ave}	17
3.2.2	Vergleich der 50-Jahres-Windgeschwindigkeit v_{m50}	17
3.3	Vergleich der effektiven Turbulenzintensität I_{eff}	18
3.3.1	Auslegungswindbedingungen hinsichtlich der Turbulenzintensität	18
3.3.2	Ermittlung der Umgebungsturbulenzintensität	20
3.3.3	Ermittlung der effektiven Turbulenzintensität I_{eff}	22
4	Zusammenfassung.....	30
4.1	Neu geplante WEA	30
4.2	Bestehende WEA.....	31
4.2.1	Nachweis der Standorteignung durch den Vergleich mit den Auslegungswerten	31
4.2.2	Nachweis der Standorteignung mittels Lastvergleich durch einen unabhängigen Gutachter.....	31
4.2.3	Zusammenfassung.....	32
5	Standortbesichtigung	33
	Abkürzungs- und Symbolverzeichnis.....	34
	Literaturverzeichnis.....	36

Abbildungsverzeichnis

Abbildung 2.1: Zu untersuchende Windparkkonfiguration; Kartenmaterial: [19.1, 19.2]..... 15

Tabellenverzeichnis

Tabelle 2.1: Zu untersuchende Windparkkonfiguration	13
Tabelle 2.2: Auslegungswindbedingungen der neu geplanten WEA	14
Tabelle 3.1: Windverhältnisse am Standort [22.1].....	16
Tabelle 3.2: Vergleich der mittleren Windgeschwindigkeit v_{ave} auf Nabenhöhe der geplanten WEA..	17
Tabelle 3.3: Vergleich der 50-Jahres-Windgeschwindigkeit v_{m50} auf Nabenhöhe der geplanten WEA	18
Tabelle 3.4: Richtlinienabhängige Auslegungswindbedingungen hinsichtlich der Turbulenzintensität	19
Tabelle 3.5: Komplexitätskriterien nach DIN EN 61400-1:2011-08 [7]	21
Tabelle 3.6: Anzusetzende Turbulenzstrukturparameter nach [7]	21
Tabelle 3.7: Repräsentative Turbulenzintensität für einen Standort.....	22
Tabelle 3.8: Ermittelte effektive Turbulenzintensitäten I_{eff} (vor Zubau)	25
Tabelle 3.9: Ermittelte effektive Turbulenzintensitäten I_{eff} (nach Zubau – Teil 1)	26
Tabelle 3.10: Ermittelte effektive Turbulenzintensitäten I_{eff} (nach Zubau – Teil 2)	27
Tabelle 3.11: Geforderte Betriebsbeschränkung zum Schutz von W1.....	28
Tabelle 3.12: Geforderte Betriebsbeschränkung zum Schutz von W2.....	28
Tabelle 3.13: Geforderte Betriebsbeschränkung zum Schutz von W3.....	28
Tabelle 3.14: Geforderte Betriebsbeschränkung zum Schutz von W4.....	28
Tabelle 3.15: Geforderte Betriebsbeschränkung zum Schutz von W5.....	28
Tabelle 3.16: Geforderte Betriebsbeschränkung zum Schutz von W6.....	28
Tabelle 3.17: Geforderte Betriebsbeschränkung zum Schutz von W7.....	28
Tabelle 3.18: Geforderte Betriebsbeschränkung zum Schutz von W8.....	29
Tabelle 3.19: Geforderte Betriebsbeschränkung zum Schutz von W9.....	29
Tabelle 3.20: Geforderte Betriebsbeschränkung zum Schutz von W10	29
Tabelle 3.21: Geforderte Betriebsbeschränkung zum Schutz von W11	29
Tabelle 3.22: Geforderte Betriebsbeschränkung zum Schutz von W12	29
Tabelle 3.23: Geforderte Betriebsbeschränkung zum Schutz von W13	29
Tabelle 4.1: Zusammenfassung der Ergebnisse geplante WEA.....	30
Tabelle 4.2: In [25] zu Grunde gelegte Auslegungswerte	31
Tabelle 4.3: Zusammenfassung der Ergebnisse Bestands-WEA.....	32

1 Vorbemerkung

1.1 Allgemeines

Das Deutsche Institut für Bautechnik DIBt hat Anfang des Jahres 2013 die Fassung Oktober 2012 der „Richtlinie für Windenergieanlagen – Einwirkungen und Standsicherheitsnachweise für Turm und Gründung“ veröffentlicht und im März 2015 eine korrigierte Fassung herausgegeben [1.1], auf deren Grundlage das vorliegende Gutachten erstellt wurde.

Aufgrund fehlender Kriterien für einen Immissionsgrenzwert für die durch benachbarte Windenergieanlagen verursachten erhöhten Turbulenzbelastungen an einer WEA, können ersatzweise die Kriterien der Standorteignung bezüglich der effektiven Turbulenzintensität für eine Turbulenzimmissionsprognose im Rahmen eines Antrages nach dem Bundes-Immissionsschutz-Gesetz (BImSchG) herangezogen werden. Eine Reduktion der Lebenszeit und der zusätzliche Verschleiß der WEA sind zumutbar, solange die Standorteignung hinsichtlich der Auslegungswerte der Turbulenzintensität oder hinsichtlich der Auslegungslasten gewährleistet bleibt. Somit stellt das vorliegende Gutachten zur Standorteignung von WEA zusätzlich eine Turbulenzimmissionsprognose im Sinne des BImSchG dar und kann als Bestandteil der Antragsstellung nach dem BImSchG verwendet werden.

1.2 Geführte Nachweise

Die Richtlinie DIBt 2012 [1.1] fordert in Kapitel 16 ein alternatives, vereinfachtes Verfahren zum Nachweis der Standorteignung von WEA, das jedoch nur angewendet werden darf, wenn die Standorte der geplanten WEA nach DIN EN 61400-1:2011-08 [7] als nicht topografisch komplexe Standorte zu bezeichnen sind. Sind vereinzelt Standorte neu geplanter WEA als topografisch komplex zu bezeichnen, wird der vereinfachte Nachweis der Standorteignung um die Kriterien nach DIN EN 61400-1:2011-08 [7] oder IEC 61400-1 ed.4 [6], jeweils Abschnitt 11.9, erweitert. Die folgenden Abschnitte stellen beide Verfahrensweisen dar. Die Vergleiche der Auslegungswerte für die zu untersuchenden Größen mit den im Rahmen dieses Gutachtens ermittelten Werten sind nach der DIBt Richtlinie Fassung Oktober 2012 nur für neu geplante Anlagen zu führen [1.1]. Für bestehende Anlagen, die nach der DIBt 1993 [3] oder DIBt 2004 [2] typengeprüft wurden, darf im Falle einer Parkänderung / -erweiterung der Nachweis der Standorteignung auch weiterhin nach dem Verfahren der DIBt 2004 erbracht werden [1.1].

Die Richtlinie DIBt 2012 [1.1] lässt folgende Möglichkeiten, bzw. mögliche auftretende Konfigurationen, in Bezug auf die Typenprüfung und die dieser zu Grunde gelegten Richtlinie, unberücksichtigt:

- i. Der geplanten Anlage liegt eine Typenprüfung nach der Richtlinie DIBt 2004 [2] zu Grunde.
- ii. Einer oder mehrerer zu berücksichtigender Bestandsanlagen liegt eine Typenprüfung nach der DIBt 2012 [1.1] Richtlinie zu Grunde.

Für diese zwei beschriebenen Fälle, die nicht durch die DIBt 2012 [1.1] abgedeckt sind, werden folgende Verfahrensweisen gemäß [1.2] als Quasistandard angewandt:

- i. Liegt einer neu geplanten Anlage eine Typenprüfung gemäß DIBt 2004 [2] zu Grunde, wird der Nachweis der Standorteignung basierend auf dem vereinfachten Verfahren nach DIBt 2012 [1.1], beschrieben in Abschnitt 1.2.1, geführt. Dieser Nachweis entspricht den Mindestanforderungen der zum Nachweis der Standorteignung der Typenprüfung nach DIBt 2004 [2] zu Grunde gelegten Richtlinie DIN EN 61400-1:2004 [8], bzw. IEC 61400-1 ed.2 [4].
- ii. Da davon auszugehen ist, dass für bereits genehmigte, bzw. bestehende Anlage mit einer Typenprüfung nach DIBt 2012 [1.1] die Standorteignung in deren Genehmigungsverfahren nachgewiesen wurde, werden nur durch hinzukommende Anlagen beeinflusste Parameter geprüft und mit den Auslegungswerten verglichen. Dies entspricht lediglich der effektiven Turbulenzintensität I_{eff} , welche durch einen Zubau erhöht werden kann.

1.2.1 Nachweis der Standorteignung an topografisch nicht komplexen Standorten durch Vergleich der Windbedingungen

Der nach der DIBt Richtlinie Fassung 2012 [1.1] vereinfachte Nachweis zur Standorteignung verlangt folgende Nachweise der Windbedingungen auf Nabenhöhe der geplanten WEA:

- i. Vergleich der mittleren Windgeschwindigkeit.
 - (1) Die mittlere Windgeschwindigkeit am Standort ist um mindestens 5 % kleiner als gemäß Typen-/Einzelprüfung, oder
 - (2) die mittlere Windgeschwindigkeit ist kleiner als gemäß Typen-/Einzelprüfung und für den Formparameter k der Weibull-Funktion gilt: $k \geq 2$.
- ii. Vergleich der effektiven Turbulenzintensität nach DIN EN 61400-1:2011-08 [7] zwischen $0.2 v_{m50}(h)$ und $0.4 v_{m50}(h)$ mit der Auslegungsturbulenz nach NTM.
- iii. Vergleich der 50-Jahreswindgeschwindigkeit.
 - (1) Die Windzone gemäß Typen-/Einzelprüfung deckt die Windzone des betrachteten Standortes entsprechend der Windzonenkarte ab (die detaillierten Regelungen gemäß DIN EN 1991-1-4, Absatz 4.3.3 einschließlich NA [9] für nicht ebene Geländelagen sind ggf. zu beachten), oder
 - (2) die 50-Jahreswindgeschwindigkeit $v_{m50}(h)$ gemäß Typen-/Einzelprüfung deckt die 50-Jahreswindgeschwindigkeit am Standort ab (z.B. Nachweis durch eine Extremwindabschätzung).

1.2.2 Nachweis der Standorteignung an topografisch komplexen Standorten durch Vergleich der Windbedingungen

Handelt es sich nach Abschnitt 11.2 der DIN EN 61400-1:2011-08 [7] um einen als topografisch komplex zu bezeichnenden Standort und liegt der zu untersuchenden WEA eine Typenprüfung nach DIBt 2012 [1.1] zu Grunde, wird der vereinfachte Nachweis zur Standorteignung nach Abschnitt 1.2.1 um folgende Nachweise der Windbedingungen auf Nabenhöhe der geplanten WEA, basierend auf DIN EN 61400-1:2011-08 [7] oder IEC 61400-1 ed.4 [6] erweitert.

- i. Das Maximum bzw. Minimum der Schräganströmung δ darf den vorgegebenen Wert von $\pm 8^\circ$, bzw. den in der Typenprüfung angegebenen Wert, nicht überschreiten bzw. unterschreiten.
 - (1) Die IEC 61400-1 ed.4 [6] sieht für den Nachweis zur Standorteignung bezüglich der Schräganströmung den Vergleich des energiegewichteten Mittelwertes aller Richtungen mit dem vorgegebenen Wert von $\pm 8^\circ$, bzw. dem in der Typenprüfung angegebenen Wert vor. Der Vergleich erfolgt dann auf Basis der nach [6] ermittelten Ausgleichsebene mit Radius $5z_{hub}$, erweitert um $2z_{hub}$ hinter der WEA.
 - (2) Die DIN EN 61400-1:2011-08 [7] sieht für den Nachweis der Standorteignung bezüglich der Schräganströmung den Vergleich des sektoriellen Maximal- bzw. Minimalwertes mit einem vorgegebenen Wert von $\pm 8^\circ$, bzw. dem in der Typenprüfung angegebenen Wert vor. Der Vergleich erfolgt dann auf Basis der nach [7] ermittelten Ausgleichsebene mit Radius $5z_{hub}$.
- ii. Der Standortmittelwert des Höhenexponenten α darf den vorgegebenen Minimal- bzw. Maximalwert nicht unter- bzw. überschreiten:
 - (1) Die IEC 61400-1 ed.4 [6] fordert für den Nachweis zur Standorteignung bezüglich des Höhenexponenten den Vergleich des energiegewichteten Mittelwertes über alle Richtungen mit dem vorgegebenen Wert von $0.05 \leq \alpha \leq 0.25$, bzw. dem in der Typenprüfung angegebenen Wert.

(2) Die DIN EN 61400-1:2011-08 [7] fordert für den Nachweis zur Standorteignung bezüglich des Höhenexponenten den Vergleich des sektoriellen Maximal- bzw. Minimalwertes von $0 \leq \alpha \leq 0.2$ oder dem in der Typenprüfung angegebenen Wert.

- iii. Der Standortmittelwert der Luftdichte ρ darf bei allen Windgeschwindigkeiten größer gleich der Nennwindgeschwindigkeit den Wert 1.225 kg/m^3 oder den in der Typenprüfung angegebenen Wert nicht überschreiten [7]. Die IEC 61400-1 ed.4 [6] fordert für den Nachweis zur Standorteignung bezüglich der Luftdichte die Einhaltung folgender Ungleichung:

$$\rho_{\text{Auslegung}} * v_{\text{ave,Auslegung}}^2 \geq \rho_{\text{Standort}} * v_{\text{ave,Standort}}^2$$

- iv. Die standortspezifische extreme Turbulenz muss nach [7] ermittelt und der Nachweis erbracht werden, dass die Auslegungswerte des ETM im Sektor mit der höchsten mittleren Windgeschwindigkeit nicht überschritten werden. Nach [6] ist der Nachweis zu erbringen, dass die Auslegungswerte des ETM in der Nachlaufsituation mit der höchsten Nachlaufturbulenz, im Zentrum des Nachlaufs, nicht überschritten werden.
- v. Der standortspezifische Extremwert des horizontalen Windgradienten darf den Extremwert nach [7], Kapitel 6.3.2.6 nicht überschreiten. Die IEC 61400-1 ed.4 [6] sieht diesen Nachweis nicht mehr vor.

1.2.3 Verfahren bei Überschreitungen – Nachweis durch Vergleich der Lasten

Kann der vereinfachte Nachweis der Windbedingungen nach DIBt 2012 [1.1] aus Abschnitt 1.2.1 nicht geführt werden, da die zu prüfenden Parameter nicht eingehalten werden, kann die Standorteignung auf Basis eines Lastvergleiches unter Berücksichtigung der standortspezifischen Windbedingungen aus Abschnitt 1.2.1 durchgeführt werden. Demnach ist bei einer Überschreitung der mittleren Windgeschwindigkeit v_{ave} , oder bei Überschreitung der effektiven Turbulenzintensität I_{eff} , der Nachweis der Standorteignung der jeweiligen WEA auf Basis eines Lastvergleiches der Betriebsfestigkeitslasten (Vergleich der standortspezifischen Lasten mit den Lastannahmen der Typenprüfung) zu führen. Bei einer Überschreitung der 50-Jahreswindgeschwindigkeit $v_{m50}(h)$ ist der Nachweis der Standorteignung der jeweiligen WEA auf Basis eines Lastvergleiches der Extremlasten (Vergleich der standortspezifischen Lasten mit den Lastannahmen der Typenprüfung) zu führen.

Kann der Nachweis der Windbedingungen an einem als topografisch komplex zu bezeichnenden Standort nach Abschnitt 1.2.1 und Abschnitt 1.2.2 nicht geführt werden, da die zu prüfenden Werte nicht eingehalten werden, kann die Standorteignung entsprechend DIN EN 61400-1:2011-08 [7] und IEC 61400-1 ed.4 [6] auf Basis eines Lastvergleiches unter Berücksichtigung der standortspezifischen Windbedingungen aus Abschnitt 1.2.1 und Abschnitt 1.2.2 durchgeführt werden. Demnach ist der Nachweis der Standorteignung der jeweiligen WEA auf Basis eines Lastvergleiches der Betriebsfestigkeitslasten und der Extremlasten zu führen.

In beiden Fällen werden die der Typenprüfung zu Grunde gelegten Auslegungslasten mit den standortspezifischen Lasten, die auf Basis der standortspezifischen Windbedingungen aus dem vorliegenden Gutachten ermittelt werden, verglichen. Wenn sich zeigt, dass die standortspezifischen Lasten die Auslegungslasten nicht überschreiten oder diese einhalten, ist eine Standorteignung durch den Vergleich der Lasten nachgewiesen. Werden die Auslegungslasten nicht eingehalten, muss die Anlage gegebenenfalls mit einer sektoriellen Betriebseinschränkung betrieben werden, um die Lasten soweit zu reduzieren, dass sie innerhalb der Auslegungslasten liegen, oder die Standorteignung kann nicht durch einen Vergleich der Lasten nachgewiesen werden.

Die Berechnung der standortspezifischen Lasten erfolgt in der Regel durch den/die Hersteller der betrachteten WEA. Der zugehörige Bericht zur durchgeführten Lastberechnung wird der I17-Wind GmbH & Co. KG im Rahmen einer Geheimhaltungsvereinbarung vorgelegt. Die Berichte werden von der I17-Wind GmbH & Co. KG dahingehend überprüft, ob die Eingangsdaten korrekt übernommen und angesetzt wurden. Das Ergebnis der Lastberechnung wird als richtig vorausgesetzt.

1.3 Abweichungen von den Richtlinien

Folgende, von der DIBt 2012 Richtlinie [1.1] und der DIN EN 61400-1:2011-08 [7] abweichende, Verfahren wurden für das vorliegende Gutachten zur Standorteignung von WEA gewählt:

- I. Entsprechend der DIBt 2012 [1.1] ist es für eine Prüfung der Standorteignung Voraussetzung, dass für die WEA eine Typenprüfung bzw. eine Einzelprüfung vorliegt. Ist dies nicht der Fall, wird der Vergleich auf Basis von vorläufigen Auslegungswerten, für die die Typenprüfung voraussichtlich angestrebt wird, durchgeführt. Somit behält das vorliegende Gutachten im Falle einer Typenprüfung bzw. Einzelprüfung, welche die zu Grunde gelegten Auslegungsparameter abdeckt, seine Gültigkeit.
- II. Der Vergleich des Standortwertes der mittleren Windgeschwindigkeit auf Nabenhöhe v_{ave} mit dem Auslegungswert kann nur nach [1.1] erfolgen, wenn die Auslegungswerte der zu betrachtenden WEA einen Formparameter k der Weibullverteilung von $k = 2.0$ ausweisen. Wenn die Auslegungswerte der zu betrachtenden WEA einen Formparameter $k \neq 2.0$ ausweisen, kann der in [1.1] geforderte Vergleich nicht mehr erfolgen. In diesem Fall wird das Verfahren nach [7] und [6] gewählt, welches einen Vergleich der Wahrscheinlichkeitsdichtefunktion pdf_{NH} der standortspezifischen Windgeschwindigkeiten mit der Wahrscheinlichkeitsdichtefunktion pdf_{TP} der Typenprüfung in einem Bereich von $0.2v_{ref} - 0.4v_{ref}$ nach [7], bzw. in einem Bereich von $v_{ave} - 2v_{ave}$ nach [6] fordert. Die zu prüfenden Bereiche aus [7] und [6] sind in der Regel annähernd deckungsgleich, es wird jedoch immer der von beiden Normen abdeckende Bereich geprüft. In dem zu untersuchenden Bereich muss die Bedingung $pdf_{NH} \leq pdf_{TP}$ erfüllt sein. Die Berechnung der Wahrscheinlichkeitsdichtefunktionen pdf_{NH} und pdf_{TP} erfolgt entsprechend [6] auf Basis der Standortmittelwerte A_{NH} und k_{NH} bzw. der Auslegungswerte A_{TP} und k_{TP} der zu untersuchenden WEA.
- III. Erfolgt der Nachweis der Standorteignung durch den Vergleich der Windbedingungen nach Abschnitt 1.2.1 und 1.2.2, hat der Vergleich der standortspezifischen effektiven Turbulenzintensität und der Auslegungsturbulenz nach NTM in dem Bereich zwischen $0.2v_{m50}(h)$ und $0.4v_{m50}(h)$ zu erfolgen [1.1]. Liegt einer zu betrachtenden WEA keine Auslegungsturbulenz nach NTM vor, erfolgt der Vergleich mit der in der Typenprüfung aufgeführten Auslegungsturbulenz. Ist die Leistungskurve der WEA bekannt, hat der Vergleich nach [7] in dem Bereich zwischen $0.6v_r$ und v_{out} zu erfolgen. Erfolgt der Nachweis der Standorteignung durch den Vergleich der Lasten nach Abschnitt 1.2.3, sind der Lastberechnung nach [1.1] mindestens die standortspezifischen effektiven Turbulenzintensitäten von v_{in} bis $0.4v_{m50}(h)$ bzw. von v_{in} bis v_{out} nach [7] zu Grunde zu legen. Im vorliegenden Gutachten werden die standortspezifischen effektiven Turbulenzintensitäten mindestens im Windgeschwindigkeitsbereich von 5 m/s bis 25 m/s (bzw. v_{out} wenn $v_{out} < 25$ m/s) ausgewiesen, was die oben beschriebenen Anforderungen für den Nachweis der Standorteignung durch den Vergleich der Windbedingungen nach [1.1], [6] und [7] abdeckt. Erfolgt der Nachweis der Standorteignung durch den Vergleich der Lasten, werden dem Anlagenhersteller grundsätzlich die standortspezifischen effektiven Turbulenzintensitäten in dem Bereich von v_{in} bis v_{out} zur Verfügung gestellt. Liegt einer zu prüfenden WEA eine Typenprüfung nach [2] zu Grunde, erfolgt der Vergleich mit der Turbulenzkurve für Turbulenzkategorie A nach [1.1], da dieser Verlauf den nach [2] anzusetzenden mit abdeckt.
- IV. Bezüglich der effektiven Turbulenzintensität I_{eff} werden grundsätzlich alle Anlagen im Umkreis des 10fachen Rotordurchmessers D der geplanten Anlage(n) in die Betrachtung einbezogen und nachgewiesen. Dieses Kriterium deckt alle Kriterien nach [1.1], [6] und [7] ab.
- V. Der standortspezifische Mittelwert der Luftdichte ρ wird abdeckend für alle Windgeschwindigkeiten angegeben. Kann der Nachweis der Standorteignung in Bezug auf die Luftdichte nicht nach [7] geführt werden, erfolgt ggf. eine Überprüfung und eine Bewertung auf Basis der differenzierteren Betrachtung nach [6].

- VI. Der standortspezifische Extremwert des horizontalen Windgradienten wird entsprechend der IEC 61400-1 ed.4 [6] nicht berücksichtigt.
- VII. Auf Grund der verwendeten Berechnungsprogramme und deren Zahlenausgabeformat, werden die im vorliegenden Gutachten ausgewiesenen Ergebnisse in der Regel mit dem Dezimaltrennzeichen „Punkt“ versehen.
- VIII. Auf Grund der unterschiedlichen Begrifflichkeiten und Bezeichnungen identischer Größen in den zu Grunde gelegten Richtlinien und Normen, werden im vorliegenden Gutachten teilweise Begriffe und Bezeichnungen gewählt bzw. eingeführt, die, soweit möglich, eine Ähnlichkeit zu den jeweiligen Begriffen und Bezeichnungen in den Richtlinien und Normen aufweisen, um sie diesen zuordnen zu können. Die korrekte Umsetzung der in den Richtlinien und Normen geforderten Vergleiche bleibt davon unberührt.

1.4 Modellunsicherheiten

Alle im Rahmen des vorliegenden Gutachtens ermittelten Ergebnisse und Zwischenergebnisse basieren einerseits auf Angaben, die vom Auftraggeber übermittelt wurden und andererseits auf Berechnungsergebnissen, die durch die I17-Wind GmbH & Co. KG ermittelt wurden. Zu den Unsicherheiten der den Eingangsdaten vom Auftraggeber zu Grunde gelegten Berechnungsmodellen kann seitens der I17-Wind GmbH & Co. KG keine Aussage getroffen werden. Diese Eingangsdaten werden im Weiteren als richtig und repräsentativ für den betrachteten Standort vorausgesetzt.

Die in den Berechnungen herangezogenen Anlagenparameter, Schubbeiwert c_t und Schnelllaufzahl λ , werden in der Regel vom Hersteller bereitgestellt. Diese Werte werden als richtig vorausgesetzt. Die berücksichtigten Werte entsprechen dem Stand zum Zeitpunkt der Gutachtenerstellung. Änderungen sind dem Anlagenhersteller vorbehalten und bedürfen einer neuen Berechnung. Bei älteren Anlagen, für die keine Informationen vorliegen, werden konservativ abdeckende, generische Anlagenparameter angesetzt.

Den von der I17-Wind GmbH & Co. KG ermittelten Ergebnissen liegen unterschiedliche, vereinfachte physikalische Modelle zu Grunde, die nur annähernd die Realität abbilden, jedoch als konservativ zu bewerten sind. Des Weiteren werden bei den Berechnungen teilweise vereinfachende Annahmen getroffen, die jedoch allesamt ebenfalls als konservativ zu bewerten sind.

2 Aufgabenstellung und Standort

2.1 Umfang des Gutachtens

Da im geplanten Windpark kein Anlagenstandort einer nach DIBt 2012 typengeprüften Anlage nach DIN EN 61400-1:2011-08 [7], bzw. IEC 61400-1 ed.4 [6] als topografisch komplexer Standort zu bezeichnen ist, findet das vereinfachte Verfahren nach Abschnitt 1.2.1 für alle Anlagen Anwendung.

2.2 Standortbeschreibung

Der Auftraggeber plant die Errichtung von 13 WEA des Typs Nordex N163/6.X auf 164.0 m Nabenhöhe. Die neu geplanten WEA sollen mit einer Nennleistung von 7000 kW betrieben werden. Der Standort liegt südwestlich des Ortsteils Dossow der Stadt Wittstock/Dosse im Landkreis Ostprignitz-Ruppin in Brandenburg. Die Auftraggeber haben eine gemeinsame Gutachterliche Stellungnahme, in der alle geplanten WEA als Gesamtheit zu betrachten sind, beauftragt.

Die I17-Wind GmbH & Co. KG wurde damit beauftragt, ein Gutachten zur Standorteignung von WEA nach der DIBt 2012 Richtlinie [1.1] unter Berücksichtigung der in Tabelle 2.1 aufgeführten [21] und in Abbildung 2.1 dargestellten WEA zu erstellen. Tabelle 2.1 führt neben den Spezifikationen der WEA am Standort auch die der Typenprüfung zu Grunde gelegten, bzw. bei fehlender Information unterstellten, Richtlinien auf. Des Weiteren wird aufgeführt, welcher Wöhlerlinienkoeffizient m für die Berechnung der effektiven Turbulenzintensität I_{eff} herangezogen wurde. Die Ergebnisse in 3.3.3 berücksichtigen den jeweiligen Wöhlerlinienkoeffizienten aus Tabelle 2.1.

Die Spalte „Innerhalb 10 D “ weist aus, welche WEA sich innerhalb eines Umkreises von 10 D um die geplanten WEA befinden. Für diese WEA hat nach [6] und [7] eine Bewertung der topografischen Komplexität und der effektiven Turbulenzintensität I_{eff} zu erfolgen.

Im vorliegenden Gutachten beziehen sich alle Bezeichnungen auf die interne, laufende W-Nummer. Wird eine Größe mit dem Index $_{TP}$ bezeichnet, handelt es sich um den Auslegungswert der zu betrachtenden WEA. Eine Bezeichnung mit dem Index $_{NH}$ weist auf den standortspezifischen Wert der betrachteten Anlage hin.

Im vorgegeben Windparklayout ergibt sich der geringste relative Abstand s einer neu geplanten WEA zu einer anderen WEA von 2.31, bezogen auf den größeren Rotordurchmesser D . Dies betrifft die WEA W1 und W4 sowie die WEA W8 und W9.

2.3 Auslegungswindbedingungen der geplanten WEA

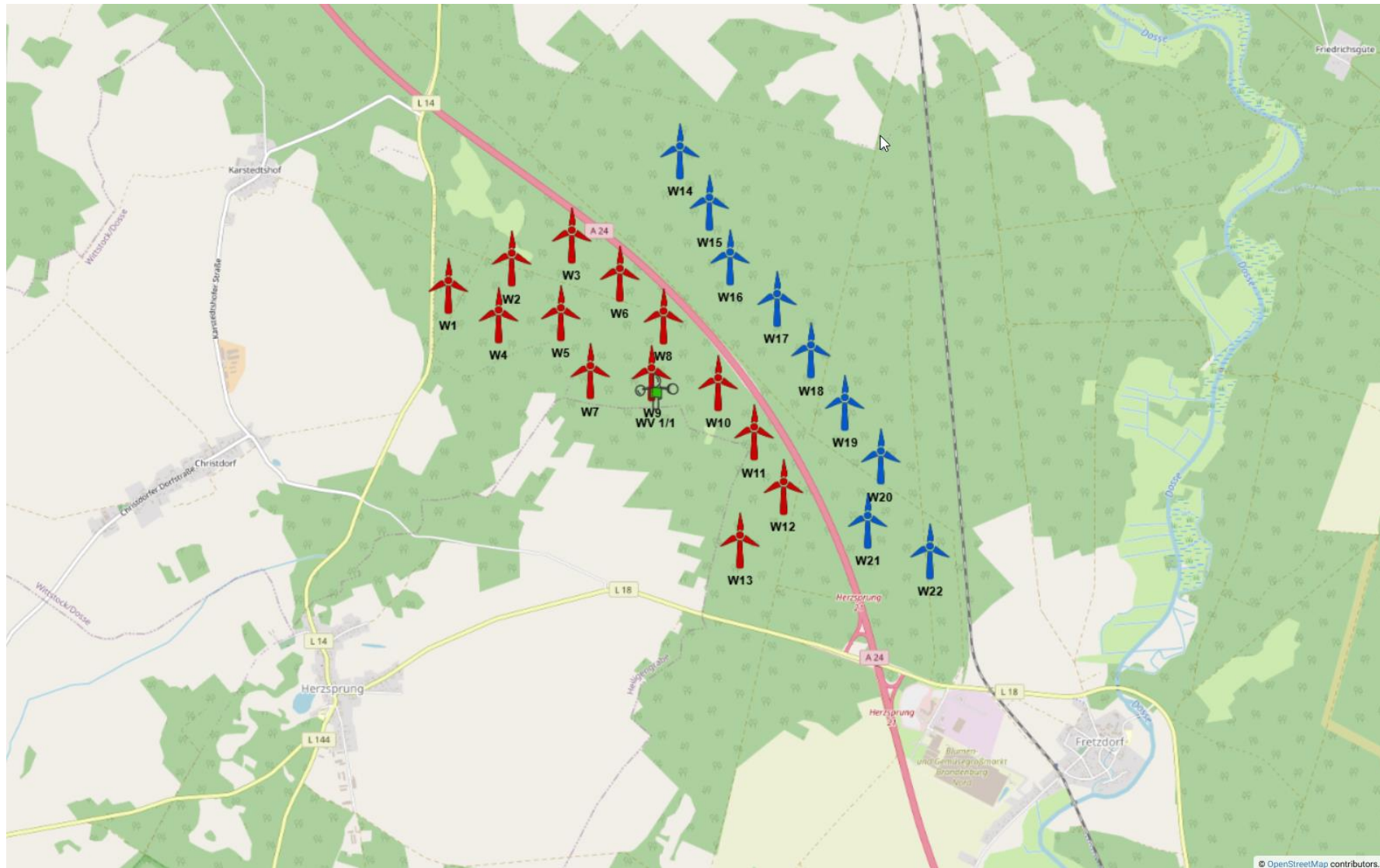
Die Auslegungswindbedingungen werden entweder der Typenprüfung entnommen oder vom Hersteller übermittelt. Da der Vergleich der Auslegungswindbedingungen, abgesehen von I_{eff} , mit den standortspezifischen Bedingungen nur für neu geplante WEA zu führen ist, werden in Tabelle 2.2 nur die Auslegungswindbedingungen der neu geplanten WEA aufgeführt.

Tabelle 2.1: Zu untersuchende Windparkkonfiguration

Interne W-Nr.	Bezeichnung Auftraggeber	Neu / Bestand	Innerhalb 10 D	Topografisch komplex	UTM ETRS89 Zone 33		Hersteller	WEA Typ	NH [m]	D [m]	FEH [m]	P _N [kW]	Prüfgrundlage DIBt	TK	m _{max, TP} [-]
					X [m]	Y [m]									
W1	SAB 1W	Neu	Ja	Nein	331662	5885552	Nordex	N163/6.X	164.0	163.0	0.0	7000	2012	C	14
W2	SAB 2W	Neu	Ja	Nein	332082	5885713	Nordex	N163/6.X	164.0	163.0	0.0	7000	2012	C	14
W3	SAB 3W	Neu	Ja	Nein	332483	5885856	Nordex	N163/6.X	164.0	163.0	0.0	7000	2012	C	14
W4	SAB 4W	Neu	Ja	Nein	331980	5885349	Nordex	N163/6.X	164.0	163.0	0.0	7000	2012	C	14
W5	SAB 5W	Neu	Ja	Nein	332393	5885349	Nordex	N163/6.X	164.0	163.0	0.0	7000	2012	C	14
W6	SAB 6W	Neu	Ja	Nein	332788	5885592	Nordex	N163/6.X	164.0	163.0	0.0	7000	2012	C	14
W7	SAB 7W	Neu	Ja	Nein	332570	5884958	Nordex	N163/6.X	164.0	163.0	0.0	7000	2012	C	14
W8	SAB 8W	Neu	Ja	Nein	333068	5885301	Nordex	N163/6.X	164.0	163.0	0.0	7000	2012	C	14
W9	SAB 9W	Neu	Ja	Nein	332979	5884935	Nordex	N163/6.X	164.0	163.0	0.0	7000	2012	C	14
W10	SAB 10W	Neu	Ja	Nein	333411	5884853	Nordex	N163/6.X	164.0	163.0	0.0	7000	2012	C	14
W11	SAB 11W	Neu	Ja	Nein	333635	5884519	Nordex	N163/6.X	164.0	163.0	0.0	7000	2012	C	14
W12	SAB 12W	Neu	Ja	Nein	333816	5884157	Nordex	N163/6.X	164.0	163.0	0.0	7000	2012	C	14
W13	SAB 13W	Neu	Ja	Nein	333519	5883818	Nordex	N163/6.X	164.0	163.0	0.0	7000	2012	C	14
W14	EW 1	Bestand	Ja	Nein	333214	5886380	Nordex	N149/5700	164.0	149.1	0.0	5700	2012	S	14
W15	EW 2	Bestand	Ja	Nein	333397	5886037	Nordex	N149/5700	164.0	149.1	0.0	5700	2012	S	14
W16	EW 3	Bestand	Ja	Nein	333519	5885675	Nordex	N149/5700	164.0	149.1	0.0	5700	2012	S	14
W17	EW 4	Bestand	Ja	Nein	333817	5885391	Nordex	N149/5700	164.0	149.1	0.0	5700	2012	S	14
W28	EW 5	Bestand	Ja	Nein	334030	5885043	Nordex	N149/5700	164.0	149.1	0.0	5700	2012	S	14
W19	EW 6	Bestand	Ja	Nein	334243	5884694	Nordex	N149/5700	164.0	149.1	0.0	5700	2012	S	14
W20	EW 7	Bestand	Ja	Nein	334462	5884334	Nordex	N149/5700	164.0	149.1	0.0	5700	2012	S	14
W21	EW 8	Bestand	Ja	Nein	334367	5883915	Nordex	N149/5700	164.0	149.1	0.0	5700	2012	S	14
W22	EW 9	Bestand	Ja	Nein	334769	5883703	Nordex	N133/4800	164.0	133.2	0.0	4800	2012	S	14

Tabelle 2.2: Auslegungswindbedingungen der neu geplanten WEA

Interne W-Nr.	Prüf-grundlage	WZ	GK	$v_{ave,TP}$ [m/s]	k_{TP} [-]	$v_{m50,TP}$ [m/s]	TK	δ_{TP} [°]	α_{TP} [-]	ρ_{TP} [kg/m ³]	ETM	Auslegungs-lebensdauer [a]	Quelle
W1 – W13	DIBt 2012	S	S	7.5	2.4	40.3	C	8.0	0.25	1.237	A	25	[24]






 Neuanlagen
  Bestandsanlagen
  Windverteilung
  Windverteilung

Abbildung 2.1: Zu untersuchende Windparkkonfiguration; Kartenmaterial: [19.1, 19.2]

Bericht-Nr.: I17-SE-2021-312 Rev.04

Gutachten zur Standorteignung von WEA nach DIBt 2012 im Windpark Fretzdorfer Heide

3 Vergleich der Windbedingungen

3.1 Grundlagen

Vom Auftraggeber wurden standortbezogene Windverhältnisse, unterteilt in mindestens 12 Sektoren, übermittelt [22.1]. Diese werden als richtig und für den Standort repräsentativ vorausgesetzt.

Um die Windverhältnisse auf Nabenhöhe an jedem Anlagenstandort zu ermitteln, werden die Daten der Windverhältnisse [22.1] auf alle notwendigen Höhen umgerechnet, sofern diese nicht vorliegen. Die Umrechnung erfolgt auf Basis eines logarithmischen Windprofils und des am Standort der Windverteilung ermittelten Höhenexponenten α . Bei der vertikalen Umrechnung wird der Formparameter k als invariant mit der Höhe angenommen und lediglich der Skalenparameter A umgerechnet. Eine horizontale Umrechnung vom Standort der Winddaten zu den jeweiligen WEA Standorten erfolgt nicht. Liegen in [22.1] mehrere Windverteilungen vor, werden diese den jeweiligen WEA zugeordnet. Tabelle 3.1 führt eine der in [22.1] übermittelten Windbedingungen am Standort auf.

Tabelle 3.1: Windverhältnisse am Standort [22.1]

Höhe: 161 m ü. Grund				A [m/s]	k [-]	p [%]
UTM ETRS89 Zone 33						
X [m]	333000	Y [m]	5884870			
Sektor		Windrichtung [°]				
N		0		5.50	2.34	4.0
NNO		30		6.60	2.67	4.5
ONO		60		8.00	2.97	7.0
O		90		8.40	2.82	9.1
OSO		120		8.10	3.35	8.0
SSO		150		7.60	2.50	7.2
S		180		7.90	2.72	7.2
SSW		210		8.30	3.30	9.4
WSW		240		8.80	3.73	14.8
W		270		8.30	2.75	13.5
WNW		300		7.40	2.71	9.9
NNW		330		6.30	2.30	5.4
Gesamt				7.91	2.79	100.0
v_{ave} [m/s]				7.04		

3.2 Vergleich v_{ave} und v_{m50}

3.2.1 Vergleich der mittleren Windgeschwindigkeit v_{ave}

Liegt der Typenprüfung einer entsprechend Abschnitt 1.2.1 zu untersuchenden WEA ein Formparameter k mit $k = 2.0$ zu Grunde, ist der Vergleich der Windverhältnisse in Bezug auf die mittlere Windgeschwindigkeit v_{ave} auf Nabenhöhe jeder geplanten WEA so zu führen, dass gilt:

- i. $v_{ave, NH} / v_{ave, TP} \leq 0.95$
oder
- ii. $0.95 < v_{ave, NH} / v_{ave, TP} \leq 1.00$ und $k_{NH} \geq 2.00$

Liegt der Typenprüfung einer entsprechend Abschnitt 1.2.1 zu untersuchenden WEA ein Formparameter k mit $k \neq 2.0$ zu Grunde, ist der Vergleich der Windverhältnisse in Bezug auf die mittlere Windgeschwindigkeit v_{ave} jeder geplanten WEA wie folgt zu führen:

- i. Vergleich der Wahrscheinlichkeitsdichtefunktion der standortspezifischen Windgeschwindigkeiten pdf_{NH} mit der Wahrscheinlichkeitsdichtefunktion der Typenprüfung pdf_{TP} in einem Bereich von $0.2v_{ref} - 0.4v_{ref}$ nach [7], bzw. in einem Bereich von $v_{ave} - 2v_{ave}$ nach [6]. In dem zu untersuchenden Bereich muss die Bedingung $pdf_{NH} \leq pdf_{TP}$ erfüllt sein.

Das Ergebnis der Berechnung der mittleren Windgeschwindigkeit v_{ave} und der Formparameter k der Weibullverteilung auf Nabenhöhe jeder neu geplanten WEA sind in Tabelle 3.2 dargestellt und werden mit den Auslegungswindbedingungen der jeweiligen WEA verglichen.

Tabelle 3.2: Vergleich der mittleren Windgeschwindigkeit v_{ave} auf Nabenhöhe der geplanten WEA

Interne W-Nr.	$v_{ave, NH}$ [m/s]	$v_{ave, TP}$ [m/s]	k_{NH} [-]	k_{TP} [-]	Wenn $k_{TP} = 2$: $v_{ave, NH} / v_{ave, TP}$ [-]	Wenn $k_{TP} \neq 2$: $pdf_{NH} \leq pdf_{TP}$	Nachweis möglich (gemäß 1.2.1)	Lastvergleich erforderlich (gemäß 1.2.3)
W1 – W13	7.04	7.50	2.79	2.40	-	Nein	Nein	Ja

3.2.2 Vergleich der 50-Jahres-Windgeschwindigkeit v_{m50}

Der Vergleich der 50-Jahreswindgeschwindigkeit $v_{m50, NH}$ auf Nabenhöhe der geplanten WEA mit dem Auslegungswert kann auf zwei Wegen erfolgen. Wenn die WEA in einer Windzone errichtet werden soll, die niedriger oder gleich der Windzone ist, die der Typenprüfung zu Grunde liegt, reicht der Nachweis, dass die Windzone gemäß Typenprüfung die Windzone des betrachteten Standortes abdeckt [1.1]. Ist dies nicht der Fall, muss nachgewiesen werden, dass die 50-Jahreswindgeschwindigkeit $v_{m50, TP}$ gemäß Typenprüfung die 50-Jahreswindgeschwindigkeit auf Nabenhöhe der geplanten WEA am Standort abdeckt [1.1, 4, 5]. Hierzu muss die 50-Jahreswindgeschwindigkeit $v_{m50, NH}$ mittels einer geeigneten Methode (z.B. der Gumbel-Methode [10]) am Standort ermittelt werden.

Den nachzuweisenden Standorten wird nach DIBt 2012 [1.1], bzw. nach DIN EN 1991-1-4/NA:2010-12 mit DIN EN 1991-1-4:2010-12 [9] die in Tabelle 3.3 aufgeführte Windzone entsprechend [11] und die Geländekategorie, basierend auf den durch den Standortbesuch gewonnenen Erkenntnissen und den verwendeten Satellitendaten [13], zu Grunde gelegt. Da, nach [1.1], in Übergangsgebieten der Geländekategorien stets die Gleichungen der niedrigeren Kategorie anzusetzen sind, wird der Vergleich in solchen Fällen auf Basis der Gleichungen für die niedrigere Geländekategorie durchgeführt.

In der folgenden Tabelle 3.3 werden die Auslegungswindbedingungen hinsichtlich v_{m50} mit den standortspezifischen Windbedingungen verglichen. Wenn die geplanten WEA in einer Windzone errichtet werden sollen, die durch die Auslegungswindbedingungen abgedeckt ist, ist die Standorteignung hinsichtlich v_{m50} nachgewiesen. Ist der Standort nicht durch die Auslegungswindbedingungen $v_{m50, TP}$ der geplanten WEA abgedeckt, erfolgt der Nachweis über eine standortspezifische Extremwindabschätzung [22.2]. Die Ergebnisse der standortspezifischen Extremwindabschätzung werden als richtig und repräsentativ für den Standort vorausgesetzt. Kann

der Nachweis durch keine der beiden Verfahrensweisen erbracht werden, kann der Nachweis ggf. durch einen Lastvergleich der Extremlasten nach Abschnitt 1.2.3 erbracht werden.

Tabelle 3.3: Vergleich der 50-Jahres-Windgeschwindigkeit v_{m50} auf Nabenhöhe der geplanten WEA

Interne W-Nr.	WZ _{TP}	GK _{TP}	$v_{m50, TP}$ [m/s]	WZ _{NH}	GK _{NH}	$v_{m50, NH}$ [1.1] [m/s]	$v_{m50, NH}$ [22.2] [m/s]	Nachweis möglich (gemäß 1.2.1)	Lastvergleich erforderlich (gemäß 1.2.3)
W1 – W13	S	S	40.3	2	II	39.1	-	Ja	Nein

3.3 Vergleich der effektiven Turbulenzintensität I_{eff}

3.3.1 Auslegungswindbedingungen hinsichtlich der Turbulenzintensität

Für die Turbulenzintensität auf Nabenhöhe einer nach der DIBt 2012 [1.1] typengeprüften WEA gibt es windgeschwindigkeitsabhängige Auslegungswerte in vier Kategorien, welche in der DIN EN 61400-1:2011-8 [7] aufgeführt sind und der Typenprüfung zu Grunde gelegt werden müssen. Bei den Turbulenzkategorien wird zwischen den vorgegebenen Kategorien A, B, C und der durch den WEA-Hersteller definierbaren Kategorie S unterschieden. Mit der IEC 61400-1 ed.4 [6] wurde eine weitere Turbulenzkategorie A+ eingeführt.

Für WEA die nach der DIBt 2004 [2] typengeprüft sind, muss die windgeschwindigkeitsabhängige Turbulenzkategorie A, welche in der DIN EN 61400-1:2004 [8] definiert ist, als Auslegungswindbedingung hinsichtlich der Turbulenzintensität zu Grunde gelegt sein. Für WEA die nach der DIBt 1993 [3] typengeprüft sind, ist eine konstante, mittlere effektive Turbulenzintensität I_{eff} von 0.20 als Auslegungswindbedingung anzusetzen.

In Tabelle 3.4 sind die unterschiedlichen Turbulenzkategorien und deren Verläufe dargestellt.

Tabelle 3.4: Richtlinienabhängige Auslegungswindbedingungen hinsichtlich der Turbulenzintensität

V _{hub} [m/s]	DIBt 1993 [3]	DIBt 2004 [2]	IEC 61400-1 ed.4 [6]	DIBt 2012 [1.1]			
	Konstanter Mittelwert	NTM A [8] [-]	NTM A+ [6] [-]	NTM A [5, 6, 7] [-]	NTM B [5, 6, 7] [-]	NTM C [5, 6, 7] [-]	S [-]
2		0.570	0.639	0.568	0.497	0.426	-
3		0.420	0.471	0.419	0.366	0.314	-
4		0.345	0.387	0.344	0.301	0.258	-
5		0.300	0.337	0.299	0.262	0.224	-
6		0.270	0.303	0.269	0.236	0.202	-
7		0.249	0.279	0.248	0.217	0.186	-
8		0.233	0.261	0.232	0.203	0.174	-
9		0.220	0.247	0.220	0.192	0.165	-
10		0.210	0.236	0.210	0.183	0.157	-
11		0.202	0.227	0.201	0.176	0.151	-
12		0.195	0.219	0.195	0.170	0.146	-
13		0.189	0.213	0.189	0.165	0.142	-
14		0.184	0.207	0.184	0.161	0.138	-
15		0.180	0.202	0.180	0.157	0.135	-
16	-	0.176	0.198	0.176	0.154	0.132	-
17		0.173	0.194	0.173	0.151	0.130	-
18		0.170	0.191	0.170	0.149	0.127	-
19		0.167	0.188	0.167	0.146	0.125	-
20		0.165	0.185	0.165	0.144	0.124	-
21		0.163	0.183	0.163	0.142	0.122	-
22		0.161	0.181	0.161	0.141	0.121	-
23		0.159	0.179	0.159	0.139	0.119	-
24		0.158	0.177	0.157	0.138	0.118	-
25		0.156	0.175	0.156	0.136	0.117	-
26		0.155	0.174	0.154	0.135	0.116	-
27		0.153	0.172	0.153	0.134	0.115	-
28		0.152	0.171	0.152	0.133	0.114	-
29		0.151	0.170	0.151	0.132	0.113	-
30		0.150	0.169	0.150	0.131	0.112	-
Konstanter Mittelwert	0.200	-	-	-	-	-	-

Der Vergleich des standortspezifischen Turbulenzverlaufes mit den windgeschwindigkeitsabhängigen Auslegungswerten erfolgt bei WEA die nach der DIBt 2004 [2] typengeprüft sind, auf Basis der Werte für die Turbulenzkategorie A nach [1.1, 5, 6, 7], da diese die Werte nach [8] mit abdecken.

3.3.2 Ermittlung der Umgebungsturbulenzintensität

3.3.2.1 Datengrundlage

Im Wesentlichen hängt die Umgebungsturbulenz I_{amb} von den Windverhältnissen, der Orographie und der Geländerauigkeit ab. Die Windverhältnisse aus [22.1] enthalten keinerlei Informationen zur Umgebungsturbulenzintensität vor Ort, somit wurde diese auf Basis der vorliegenden Informationen zur Bodenbedeckung [13] und der Topografie [14] am Standort auf Nabenhöhe ermittelt.

3.3.2.2 Vorgehensweise

Die Umgebungsturbulenzintensität I_{amb} beschreibt im Allgemeinen die Schwankung der Windgeschwindigkeit in einem Zeitintervall von 600 s um ihren Mittelwert. Sie ist als der Quotient aus der Standardabweichung σ der Windgeschwindigkeit und der zugehörigen mittleren Windgeschwindigkeit v_{ave} in einem 600 s Intervall zu bilden [6, 7, 8]. Liegen Daten einer Windmessung am Standort vor, kann I_{amb} direkt, bzw. I_{char} durch Addition der 1fachen Standardabweichung der Umgebungsturbulenzintensität σ_σ [4, 8] und I_{rep} durch Addition der 1.28fachen Standardabweichung der Umgebungsturbulenzintensität σ_σ [6, 7] zu I_{amb} ermittelt werden. Durch Ermittlung der Windscherung, kann die auf Messhöhe ermittelte charakteristische, bzw. repräsentative Turbulenzintensität auf Nabenhöhe extrapoliert werden. Liegt keine Messung vor, muss die Umgebungsturbulenzintensität rechnerisch ermittelt werden.

Zur Berechnung von I_{amb} werden an jedem zu untersuchenden WEA Standort die flächenmäßigen Informationen zur Bodenbedeckung aus dem CORINE Datensatz [13] mit 20 km Radius um den Standort zu Grunde gelegt. Die in [13] enthaltenen Flächen verschiedener Bodenbedeckung werden nach den Empfehlungen des Europäischen Wind Atlas [12] in Flächen mit einer Rauigkeitslänge z_0 konvertiert. Alle innerhalb eines Sektors liegenden Rauigkeitselemente werden abschließend nach Abstand und Größe gewichtet und in einen, für diesen Sektor, repräsentativen Rauigkeitswert umgerechnet. Aus den sektoriell vorliegenden Rauigkeitslängen wird mittels eines von der Rauigkeitslänge z_0 abhängigen Profils die Umgebungsturbulenzintensität auf Nabenhöhe der jeweiligen WEA berechnet.

Da in der Richtlinie des Deutschen Instituts für Bautechnik DIBt 2012 [1.1] für die Ermittlung der Standorteignung bezüglich der effektiven Turbulenzintensitäten Turbulenzwerte für verschiedene Windgeschwindigkeiten gefordert sind, wird den ermittelten Werten für die Umgebungsturbulenzintensität das NTM nach [6, 7] zu Grunde gelegt. Der ermittelten Turbulenzkurve wird in Anlehnung an das vom Risø DTU National Laboratory entwickelte Verfahren im Windfarm Assessment Tool eine windgeschwindigkeitsabhängige Standardabweichung σ_σ unterstellt, die ebenfalls dem NTM Verlauf folgt [15]. Die Werte für die Standardabweichung der Umgebungsturbulenzintensität σ_σ sind so gewählt, dass die Summe aus der Referenzsturbulenzintensität nach NTM und dem 1fachen σ_σ die Referenzkurve nach [6, 7] ergibt.

Die repräsentative Turbulenzintensität I_{rep} wird nach dem beschriebenen Verfahren für jede zu betrachtende, nach DIBt 2012 [1.1] typen-/einzelgeprüfte, WEA auf Nabenhöhe ermittelt und den weiteren Berechnungen zu Grunde gelegt. Für Anlagen, deren Typen-/Einzelprüfung auf der Richtlinie DIBt 2004 [2] oder DIBt 1993 [3] basiert, findet die charakteristische Turbulenzintensität I_{char} Anwendung.

3.3.2.3 Untersuchung der topografischen Komplexität der Anlagenstandorte

Das verwendete Höhenmodell aus dem SRTM Datensatz [14] liegt in einer Auflösung von ca. 30 m vor und wird für die Ermittlung der topografischen Komplexität der Standorte herangezogen.

Die Standorte aller zu betrachtenden Anlagen werden basierend auf den Vorgaben der geltenden Norm DIN EN 61400-1:2011-08 [7] auf topografische Komplexität untersucht. Die topografische Komplexität des Standortes wird dargestellt durch die Neigung des Geländes und die Abweichungen der Topografie des Geländes von einer dem Gelände angenäherten Ebene. Die Beurteilungskriterien sind in Tabelle 3.5 dargestellt.

Tabelle 3.5: Komplexitätskriterien nach DIN EN 61400-1:2011-08 [7]

Abstand von der betrachteten WEA [m]	Sektoramplitude [°]	Größte Neigung der angenäherten Ebene	Größte Geländeabweichung [m]
< 5NH	360	< 10	< 0.3NH
< 10NH	30		< 0.6NH
< 20NH	30		< 1.2NH

Ein Standort wird als topografisch komplex eingestuft, wenn 15 % der Windenergie aus Sektoren kommt, die die Kriterien in Tabelle 3.5 nicht erfüllen [7].

3.3.2.4 Ermittlung des Turbulenzstrukturparameters

Um der Deformation der turbulenten Anströmung durch die Topografie Rechnung zu tragen, erfolgt die Einführung des von der Energieverteilung abhängigen Turbulenzstrukturparameters C_{CT} . Hierfür wird nach DIN EN 61400-1:2011-08 [7] der Komplexitätsindex i_c ermittelt und angesetzt, siehe Tabelle 3.6. Bei der Ermittlung von i_c werden alle Energieanteile aus den Sektoren aufsummiert, welche die Kriterien aus Tabelle 3.5 nicht erfüllen. Der errechnete Turbulenzstrukturparameter C_{CT} kommt dann in jedem dieser Sektoren zum Tragen. Dieser wird auf Basis des verwendeten Höhenmodells [14] und der übermittelten Windverhältnisse [22.1] berechnet.

Tabelle 3.6: Anzusetzende Turbulenzstrukturparameter nach [7]

Anteil an der Energieverteilung [%]	Komplexitätsindex i_c [-]	Turbulenzstrukturparameter C_{CT} [-]
0 - 5	0	1.000
6	0.1	1.015
7	0.2	1.030
8	0.3	1.045
9	0.4	1.060
10	0.5	1.075
11	0.6	1.090
12	0.7	1.105
13	0.8	1.120
14	0.9	1.135
15	1	1.150
16 - 100	1	1.150

3.3.2.5 Repräsentative Turbulenzintensität

In Tabelle 3.7 werden die sektoriell nach dem in Abschnitt 3.3.2.2 beschriebenen Verfahren ermittelten repräsentativen Turbulenzintensitäten, bezogen auf eine Windgeschwindigkeit von 15 m/s, für eine Anlagenposition aufgeführt.

Tabelle 3.7: Repräsentative Turbulenzintensität für einen Standort

Standort: W9	NH: 164 m	I_{rep} [-]
Sektor	Windrichtung [°]	
N	0	0.132
NNO	30	0.138
ONO	60	0.140
O	90	0.139
OSO	120	0.143
SSO	150	0.139
S	180	0.134
SSW	210	0.132
WSW	240	0.130
W	270	0.133
WNW	300	0.131
NNW	330	0.129

3.3.3 Ermittlung der effektiven Turbulenzintensität I_{eff}

3.3.3.1 Grundlagen

Die effektive Turbulenzintensität I_{eff} ist definiert als die mittlere Turbulenzintensität, die über die Lebensdauer einer WEA dieselbe Materialermüdung verursacht, wie die am Standort herrschenden, verschiedenen Turbulenzen. Die Materialkennzahl, die maßgeblich in die Berechnung der effektiven Turbulenzintensität einfließt, ist der Wöhlerlinienkoeffizient m . Im vorliegenden Gutachten liegt jeder zu betrachtenden WEA der anlagenspezifische Wöhlerlinienkoeffizient zu Grunde, der die strukturschwächste Komponente repräsentiert. Hierbei handelt es sich im Regelfall um die Rotorblätter einer WEA, welche durch Wöhlerlinienkoeffizienten zwischen $m = 10$ für glasfaserverstärkte Verbundwerkstoffe und $m = 15$ für kohlefaserverstärkte Verbundwerkstoffe abgedeckt werden. Dadurch werden alle Komponenten einer WEA in die Betrachtung mit einbezogen.

Grundsätzlich setzt sich die effektive Turbulenzintensität I_{eff} an einer WEA aus der Umgebungsturbulenzintensität und der durch den Nachlauf anderer WEA induzierten Turbulenzintensität, dem sogenannten „Wake-Effekt“, zusammen. Hierbei sind je nach zu Grunde gelegter Richtlinie unterschiedliche Berücksichtigungen der Standardabweichung der Umgebungsturbulenzintensität σ_σ zu berücksichtigen.

Die Berechnung der induzierten Turbulenzintensität erfolgt nach den Ausarbeitungen in [10], Kapitel 2.4.4, wenn alle hierfür erforderlichen Anlagenparameter vorliegen oder konservativ abdeckend ermittelt werden konnten. Andernfalls erfolgt die Berechnung der induzierten Turbulenzintensität nach den Ausarbeitungen in [16], sowie den informativen Anhängen in [6] und [7]. Die generelle Vorgehensweise zur Ermittlung der effektiven Turbulenzintensität I_{eff} erfolgt in beiden Fällen entsprechend den Anforderungen aus [6] und [7].

Die induzierte Turbulenzintensität wird in [10] als eine Funktion beschrieben, die von den Abständen der WEA untereinander, der Umgebungsturbulenzintensität und von anlagenspezifischen Kenngrößen abhängig ist. Diese Kenngrößen sind einerseits der windgeschwindigkeitsabhängige Schubbeiwert c_t , als auch die windgeschwindigkeitsabhängige Schnelllaufzahl λ der turbulenzinduzierenden WEA. Das Modell bildet sowohl den voll ausgebildeten Nachlauf als auch den nicht voll ausgebildeten Nachlauf

hinter einer WEA ab. Die anlagenspezifischen Werte c_t und λ sind vom Anlagenhersteller übermittelt. Wenn für eine zu betrachtende WEA diese Werte nicht vorliegen, werden Sie, wenn möglich, auf Basis der Anlagenparameter wie Drehzahl und Rotordurchmesser ermittelt, oder durch eine konservativ abdeckende Standardkurve ersetzt. Der Ermittlung von I_{eff} werden die am Standort herrschenden geometrischen Verhältnisse, sowie die am Standort herrschenden Windbedingungen zu Grunde gelegt. Da in [10] keine Aussage zum berücksichtigenden Einflussbereich der WEA untereinander getroffen wird, werden sowohl die Bereiche im Volleinfluss (Rotor der WEA steht voll im Nachlauf einer anderen WEA), als auch die Bereiche im Teileinfluss (Rotor der WEA steht nur teilweise im Nachlauf einer anderen WEA) bei der Berechnung von I_{eff} berücksichtigt, was somit den konservativsten Ansatz darstellt.

Die induzierte Turbulenzintensität wird in [16] als eine Funktion beschrieben, die von den Abständen s der WEA untereinander und vom windgeschwindigkeitsabhängigen Schubbeiwert c_t abhängig ist. Die anlagenspezifischen c_t Werte sind vom Anlagenhersteller übermittelt. Wenn für eine zu betrachtende WEA diese Werte nicht vorliegen, werden Sie durch eine konservativ abdeckende Standardkurve ersetzt. Der Ermittlung von I_{eff} werden die am Standort herrschenden geometrischen Verhältnisse, sowie die am Standort herrschenden Windbedingungen zu Grunde gelegt. Da in [16] eine eindeutige Aussage zum berücksichtigenden Einflussbereich der WEA untereinander getroffen wird, wird genau dieser Bereich bei der Berechnung von I_{eff} berücksichtigt.

Die Ermittlung der induzierten Turbulenzintensität muss durchgeführt werden, solange sich eine WEA in einem Abstand kleiner $10 D$ von der zu betrachtenden Anlage befindet [6, 7, 8]. Ist der Abstand aller WEA im Umfeld grösser $10 D$, bezogen auf die jeweils turbulenzinduzierende WEA, muss deren Einfluss nicht mehr berücksichtigt werden.

Die Ergebnisse der ermittelten, effektiven Turbulenzintensitäten bei Anlagenabständen von unter $2.0 D$ können nicht für eine standortspezifische Lastrechnung (siehe Abschnitt 1.2.3) herangezogen werden. In diesen Nachlaufsituationen ist in jedem Fall eine Abschaltung erforderlich. Die Ergebnisse der ermittelten, effektiven Turbulenzintensitäten bei Anlagenabständen von mindestens $2.3 D$ können uneingeschränkt für eine standortspezifische Lastrechnung (siehe Abschnitt 1.2.3) herangezogen werden. Bei relativen Anlagenabständen zwischen $2.0 D$ und $2.3 D$ wird nach einschlägigen Kriterien im Einzelfall entschieden, ob die Ergebnisse für eine Lastrechnung verwendet werden können, oder nicht. In der Einzelfallprüfung werden folgende Größen im Bereich der zu untersuchenden Nachlaufsituation bewertet:

- Der Formparameter der Weibullverteilung k
- Der Energieanteil
- Die Kriterien nach Tabelle 3.5

Ergibt die Einzelfallprüfung, dass die Ergebnisse nicht für eine Lastrechnung herangezogen werden können, werden sektorielle Abschaltungen oder Betriebsbeschränkungen gefordert, um die Standorteignung hinsichtlich der effektiven Turbulenzintensität nachzuweisen.

Die ermittelten Werte für I_{eff} werden den Auslegungswerten, die der Typen-/Einzelprüfung der betrachteten Anlage zu Grunde liegen, gegenübergestellt. Liegen die ermittelten Werte nicht oberhalb der Auslegungswerte, gilt eine Standorteignung hinsichtlich der effektiven Turbulenzintensität als nachgewiesen. Liegen die Werte über den Auslegungswerten, kann eine Standorteignung hinsichtlich der effektiven Turbulenzintensität nicht durch den Vergleich mit den Auslegungswerten nachgewiesen werden. Der Nachweis der Standorteignung kann in diesem Fall jedoch durch eine standortspezifische Lastrechnung seitens des Anlagenherstellers oder eines unabhängigen Dritten erfolgen.

3.3.3.2 Berücksichtigte sektorische Betriebsbeschränkungen (WSM)

Bei der Berechnung der effektiven Turbulenzintensität I_{eff} können sektorische Betriebsbeschränkungen (WSM) an WEA berücksichtigt werden. Die Betriebsbeschränkungen können sich aus zu geringen Abständen und einer negativen Einzelfallprüfung nach Abschnitt 3.3.3.1 ergeben, oder an bereits bestehenden WEA Bestandteil der Genehmigung sein. Des Weiteren kann ein WSM dafür genutzt werden, den Einfluss einer neu geplanten WEA auf den zu berücksichtigenden Bestand derart zu reduzieren, dass die geplante WEA keinen signifikanten Einfluss mehr auf die effektive Turbulenzintensität I_{eff} einer Bestandsanlage hat oder um Überschreitungen der effektiven Turbulenzintensität I_{eff} an dieser zu verhindern. Die im Folgenden aufgeführten Betriebsbeschränkungen stellen immer eine Mindestanforderung dar, deren technische Umsetzbarkeit nicht geprüft wurde. Wenn möglich, wird für jedes WSM an einer beeinflussenden WEA ein alternatives WSM an der beeinflussten WEA ausgewiesen. Hierbei handelt es sich in der Regel um eine Abschaltung an der beeinflussten WEA, da die Lasten an einer abgeschalteten WEA geringer sind, als die Lasten im frei angeströmten Betrieb. Die ausgewiesenen Alternativen stellen einen Vorschlag dar, werden aber nicht in der Berechnung der effektiven Turbulenzintensität I_{eff} berücksichtigt. Soll eine ausgewiesene Alternative berücksichtigt werden, erfordert dies eine neue Bewertung hinsichtlich der effektiven Turbulenzintensität I_{eff} .

Bei der Berechnung der effektiven Turbulenzintensität I_{eff} wurden keine sektorischen Betriebsbeschränkungen berücksichtigt.

3.3.3.3 Ergebnis

Die folgende Tabelle 3.8 stellt die ermittelten effektiven Turbulenzintensitäten vor Zubau der geplanten WEA in Abhängigkeit der Windgeschwindigkeit dar. Aufgeführt werden nur Bestands-WEA, für die ein Vergleich der Situation vor mit der Situation nach dem geplanten Zubau durchgeführt wird. Tabelle 3.9 und Tabelle 3.10 stellen die ermittelten effektiven Turbulenzintensitäten nach Zubau der geplanten WEA in Abhängigkeit von der Windgeschwindigkeit dar. Die nach der jeweils zu Grunde gelegten Richtlinie ermittelten effektiven Turbulenzintensitäten werden der Referenzkurve nach DIBt 2012 [1.1] oder der Referenzkurve der jeweiligen Typenprüfung gegenübergestellt. Überschreitungen sind **fett kursiv** dargestellt.

Tabelle 3.8: Ermittelte effektive Turbulenzintensitäten I_{eff} (vor Zubau)

v_{hub}	W14[S1]	W22[S2]	Referenz Klasse S1	Referenz Klasse S2
3	0.333	0.327	0.332	0.274
4	0.302	0.286	0.282	0.255
5	0.297	0.273	0.253	0.244
6	0.284	0.258	0.233	0.232
7	0.265	0.240	0.219	0.226
8	0.249	0.225	0.208	0.219
9	0.227	0.205	0.200	0.213
10	0.213	0.193	0.193	0.207
11	0.200	0.181	0.188	0.201
12	0.186	0.170	0.183	0.195
13	0.173	0.160	0.179	0.190
14	0.163	0.152	0.176	0.184
15	0.154	0.145	0.173	0.180
16	0.148	0.140	0.171	0.176
17	0.143	0.136	0.169	0.173
18	0.139	0.132	0.167	0.170
19	0.136	0.129	0.165	0.168
20	0.133	0.127	0.163	0.165
21	0.131	0.125	0.162	0.163
22	0.130	0.123	0.161	0.161
23	0.128	0.121	0.159	0.159
24	0.126	0.119	0.158	0.157
25	0.125	0.118	0.157	0.156

Tabelle 3.9: Ermittelte effektive Turbulenzintensitäten I_{eff} (nach Zubau – Teil 1)

v_{hub}	W1[C]	W2[C]	W3[C]	W4[C]	W5[C]	W6[C]	W7[C]	W8[C]	W9[C]	W10[C]	W11[C]	W12[C]	W13[C]	Referenz Klasse C
3	0.348	0.351	0.347	0.356	0.353	0.351	0.345	0.350	0.355	0.349	0.349	0.341	0.333	0.314
4	0.326	0.327	0.322	0.332	0.324	0.325	0.317	0.324	0.330	0.321	0.320	0.310	0.297	0.258
5	0.326	0.324	0.319	0.330	0.318	0.321	0.312	0.321	0.326	0.316	0.315	0.302	0.287	0.224
6	0.315	0.312	0.306	0.315	0.304	0.308	0.299	0.308	0.311	0.303	0.300	0.287	0.271	0.202
7	0.295	0.293	0.288	0.294	0.283	0.288	0.279	0.288	0.289	0.283	0.280	0.268	0.252	0.186
8	0.275	0.273	0.268	0.272	0.264	0.268	0.260	0.268	0.268	0.263	0.259	0.249	0.233	0.174
9	0.248	0.246	0.242	0.244	0.238	0.242	0.235	0.241	0.241	0.238	0.233	0.225	0.210	0.165
10	0.234	0.233	0.229	0.230	0.225	0.228	0.221	0.227	0.227	0.224	0.219	0.211	0.197	0.157
11	0.219	0.219	0.215	0.215	0.212	0.213	0.208	0.213	0.213	0.211	0.206	0.198	0.185	0.151
12	0.203	0.203	0.199	0.200	0.198	0.198	0.194	0.198	0.198	0.196	0.191	0.184	0.172	0.146
13	0.189	0.190	0.186	0.187	0.186	0.184	0.182	0.184	0.186	0.183	0.178	0.171	0.161	0.142
14	0.176	0.177	0.173	0.175	0.174	0.171	0.170	0.171	0.174	0.172	0.167	0.159	0.151	0.138
15	0.166	0.167	0.164	0.166	0.166	0.162	0.161	0.161	0.165	0.164	0.159	0.150	0.144	0.135
16	0.157	0.158	0.155	0.157	0.157	0.154	0.153	0.152	0.157	0.156	0.151	0.142	0.138	0.132
17	0.150	0.151	0.149	0.150	0.151	0.147	0.146	0.146	0.150	0.150	0.145	0.137	0.134	0.130
18	0.145	0.146	0.144	0.145	0.146	0.143	0.141	0.141	0.145	0.145	0.141	0.133	0.131	0.127
19	0.141	0.142	0.141	0.141	0.142	0.140	0.138	0.137	0.141	0.141	0.137	0.130	0.128	0.125
20	0.137	0.139	0.138	0.137	0.139	0.137	0.134	0.134	0.138	0.138	0.135	0.127	0.126	0.124
21	0.133	0.134	0.134	0.132	0.135	0.133	0.130	0.131	0.134	0.135	0.131	0.125	0.124	0.122
22	0.130	0.131	0.131	0.129	0.132	0.131	0.127	0.128	0.130	0.132	0.129	0.123	0.122	0.121
23	0.127	0.128	0.128	0.125	0.129	0.128	0.124	0.126	0.127	0.129	0.126	0.122	0.121	0.119
24	0.124	0.125	0.126	0.123	0.126	0.126	0.122	0.124	0.124	0.126	0.124	0.120	0.119	0.118
25	0.122	0.123	0.124	0.121	0.124	0.124	0.120	0.122	0.122	0.124	0.122	0.119	0.118	0.117

Tabelle 3.10: Ermittelte effektive Turbulenzintensitäten I_{eff} (nach Zubau – Teil 2)

v_{hub}	W14[S1]	W15[S1]	W16[S1]	W17[S1]	W18[S1]	W19[S1]	W20[S1]	W21[S1]	W22[S2]	Referenz Klasse S1	Referenz Klasse S2
3	0.334	0.340	0.340	0.338	0.339	0.338	0.335	0.338	0.327	0.332	0.274
4	0.303	0.310	0.309	0.306	0.306	0.305	0.299	0.302	0.287	0.282	0.255
5	0.297	0.305	0.301	0.298	0.298	0.295	0.289	0.290	0.273	0.253	0.244
6	0.284	0.290	0.287	0.284	0.283	0.280	0.274	0.271	0.258	0.233	0.232
7	0.266	0.270	0.268	0.265	0.264	0.261	0.255	0.252	0.240	0.219	0.226
8	0.249	0.253	0.251	0.248	0.247	0.244	0.239	0.234	0.225	0.208	0.219
9	0.227	0.230	0.228	0.227	0.225	0.223	0.219	0.214	0.206	0.200	0.213
10	0.213	0.215	0.213	0.212	0.211	0.209	0.205	0.201	0.193	0.193	0.207
11	0.200	0.202	0.200	0.199	0.198	0.196	0.193	0.189	0.182	0.188	0.201
12	0.186	0.189	0.186	0.186	0.185	0.183	0.180	0.175	0.170	0.183	0.195
13	0.173	0.176	0.173	0.173	0.172	0.171	0.168	0.165	0.160	0.179	0.190
14	0.163	0.166	0.162	0.163	0.162	0.161	0.158	0.155	0.152	0.176	0.184
15	0.155	0.157	0.153	0.154	0.154	0.153	0.151	0.148	0.146	0.173	0.180
16	0.148	0.150	0.146	0.148	0.147	0.147	0.144	0.142	0.140	0.171	0.176
17	0.143	0.145	0.141	0.142	0.142	0.142	0.139	0.138	0.136	0.169	0.173
18	0.139	0.140	0.138	0.138	0.138	0.138	0.135	0.134	0.132	0.167	0.170
19	0.136	0.137	0.135	0.135	0.135	0.135	0.132	0.131	0.130	0.165	0.168
20	0.133	0.134	0.132	0.133	0.132	0.132	0.130	0.129	0.127	0.163	0.165
21	0.131	0.132	0.130	0.131	0.130	0.130	0.127	0.127	0.125	0.162	0.163
22	0.130	0.130	0.128	0.129	0.128	0.128	0.125	0.125	0.123	0.161	0.161
23	0.128	0.128	0.127	0.127	0.127	0.126	0.123	0.123	0.121	0.159	0.159
24	0.127	0.126	0.125	0.125	0.125	0.124	0.122	0.121	0.120	0.158	0.157
25	0.125	0.125	0.123	0.124	0.123	0.123	0.120	0.119	0.118	0.157	0.156

3.3.3.4 Sektorielle Betriebsbeschränkungen bis zur Vorlage der Lastrechnung

Aufgrund der Überschreitung der Wahrscheinlichkeitsdichtefunktion der standortspezifischen Windgeschwindigkeiten pdf_{NH} im Vergleich zur Wahrscheinlichkeitsdichtefunktion der Typenprüfung pdf_{TP} sowie Überschreitungen der effektiven Turbulenzintensitäten I_{eff} an den neu geplanten WEA W1–W13 wird eine standortspezifische Lastrechnung seitens des Anlagenherstellers Nordex für diese WEA durchgeführt. Bis zur Vorlage der standortspezifischen Lastrechnung sind die folgenden sektoriellen Betriebseinschränkungen notwendig, um die Überschreitungen der Wahrscheinlichkeitsdichtefunktion der standortspezifischen Windgeschwindigkeiten pdf_{NH} sowie die Überschreitungen der effektiven Turbulenzintensitäten I_{eff} zu verhindern.

Tabelle 3.11: Geforderte Betriebsbeschränkung zum Schutz von W1

WEA	Start WSM [°]	Ende WSM [°]	Startwindgeschwindigkeit [m/s]	Endwindgeschwindigkeit [m/s]	Betriebsmodus
W1	0	359	V_{in}	V_{out}	Abschaltung

Tabelle 3.12: Geforderte Betriebsbeschränkung zum Schutz von W2

WEA	Start WSM [°]	Ende WSM [°]	Startwindgeschwindigkeit [m/s]	Endwindgeschwindigkeit [m/s]	Betriebsmodus
W2	0	359	V_{in}	V_{out}	Abschaltung

Tabelle 3.13: Geforderte Betriebsbeschränkung zum Schutz von W3

WEA	Start WSM [°]	Ende WSM [°]	Startwindgeschwindigkeit [m/s]	Endwindgeschwindigkeit [m/s]	Betriebsmodus
W3	0	359	V_{in}	V_{out}	Abschaltung

Tabelle 3.14: Geforderte Betriebsbeschränkung zum Schutz von W4

WEA	Start WSM [°]	Ende WSM [°]	Startwindgeschwindigkeit [m/s]	Endwindgeschwindigkeit [m/s]	Betriebsmodus
W4	0	359	V_{in}	V_{out}	Abschaltung

Tabelle 3.15: Geforderte Betriebsbeschränkung zum Schutz von W5

WEA	Start WSM [°]	Ende WSM [°]	Startwindgeschwindigkeit [m/s]	Endwindgeschwindigkeit [m/s]	Betriebsmodus
W5	0	359	V_{in}	V_{out}	Abschaltung

Tabelle 3.16: Geforderte Betriebsbeschränkung zum Schutz von W6

WEA	Start WSM [°]	Ende WSM [°]	Startwindgeschwindigkeit [m/s]	Endwindgeschwindigkeit [m/s]	Betriebsmodus
W6	0	359	V_{in}	V_{out}	Abschaltung

Tabelle 3.17: Geforderte Betriebsbeschränkung zum Schutz von W7

WEA	Start WSM [°]	Ende WSM [°]	Startwind- geschwindigkeit [m/s]	Endwind- geschwindigkeit [m/s]	Betriebsmodus
W7	0	359	V_{in}	V_{out}	Abschaltung

Tabelle 3.18: Geforderte Betriebsbeschränkung zum Schutz von W8

WEA	Start WSM [°]	Ende WSM [°]	Startwind- geschwindigkeit [m/s]	Endwind- geschwindigkeit [m/s]	Betriebsmodus
W8	0	359	V_{in}	V_{out}	Abschaltung

Tabelle 3.19: Geforderte Betriebsbeschränkung zum Schutz von W9

WEA	Start WSM [°]	Ende WSM [°]	Startwind- geschwindigkeit [m/s]	Endwind- geschwindigkeit [m/s]	Betriebsmodus
W9	0	359	V_{in}	V_{out}	Abschaltung

Tabelle 3.20: Geforderte Betriebsbeschränkung zum Schutz von W10

WEA	Start WSM [°]	Ende WSM [°]	Startwind- geschwindigkeit [m/s]	Endwind- geschwindigkeit [m/s]	Betriebsmodus
W10	0	359	V_{in}	V_{out}	Abschaltung

Tabelle 3.21: Geforderte Betriebsbeschränkung zum Schutz von W11

WEA	Start WSM [°]	Ende WSM [°]	Startwind- geschwindigkeit [m/s]	Endwind- geschwindigkeit [m/s]	Betriebsmodus
W11	0	359	V_{in}	V_{out}	Abschaltung

Tabelle 3.22: Geforderte Betriebsbeschränkung zum Schutz von W12

WEA	Start WSM [°]	Ende WSM [°]	Startwind- geschwindigkeit [m/s]	Endwind- geschwindigkeit [m/s]	Betriebsmodus
W12	0	359	V_{in}	V_{out}	Abschaltung

Tabelle 3.23: Geforderte Betriebsbeschränkung zum Schutz von W13

WEA	Start WSM [°]	Ende WSM [°]	Startwind- geschwindigkeit [m/s]	Endwind- geschwindigkeit [m/s]	Betriebsmodus
W13	0	359	V_{in}	V_{out}	Abschaltung

4 Zusammenfassung

4.1 Neu geplante WEA

Es wurden die Standortbedingungen nach Abschnitt 1.2.1 für die neu geplanten WEA ermittelt und mit den Auslegungswerten verglichen. Dieser Vergleich hat gezeigt, dass

- i. W1 – W13 eine Überschreitung der Wahrscheinlichkeitsdichtefunktion der standortspezifischen Windgeschwindigkeiten pdf_{NH} im Vergleich zur Wahrscheinlichkeitsdichtefunktion der Typenprüfung pdf_{TP} aufweisen (siehe Abschnitt 3.2.1),
- ii. W1 – W13 an einem Standort errichtet werden sollen, der den Auslegungswert der 50-Jahreswindgeschwindigkeit $v_{m50, TP}$ nicht überschreitet (siehe Abschnitt 3.2.2) und
- iii. W1 – W13 Überschreitungen der effektiven Turbulenzintensität I_{eff} gegenüber den Auslegungswerten aufweisen (siehe Abschnitt 3.3.3.3).

Unter Berücksichtigung der in Abschnitt 3.3.3.4 aufgeführten sektoriellen Betriebsbeschränkungen ist die Standorteignung gemäß DIBt 2012 [1] für die neu geplanten WEA W1 – W13 durch den Vergleich mit den Auslegungswerten nachgewiesen.

Die folgende Tabelle stellt die Ergebnisse zum Nachweis der Standorteignung der geplanten WEA zusammenfassend dar.

Tabelle 4.1: Zusammenfassung der Ergebnisse geplante WEA

Interne W-Nr.	Hersteller	Anlagentyp	NH [m]	FEH [m]	Standorteignung gemäß DIBt 2012 nachgewiesen
W1	Nordex	N163/6.X	164.0	0.0	Ja, siehe Abschnitt 3.3.3.4
W2	Nordex	N163/6.X	164.0	0.0	Ja, siehe Abschnitt 3.3.3.4
W3	Nordex	N163/6.X	164.0	0.0	Ja, siehe Abschnitt 3.3.3.4
W4	Nordex	N163/6.X	164.0	0.0	Ja, siehe Abschnitt 3.3.3.4
W5	Nordex	N163/6.X	164.0	0.0	Ja, siehe Abschnitt 3.3.3.4
W6	Nordex	N163/6.X	164.0	0.0	Ja, siehe Abschnitt 3.3.3.4
W7	Nordex	N163/6.X	164.0	0.0	Ja, siehe Abschnitt 3.3.3.4
W8	Nordex	N163/6.X	164.0	0.0	Ja, siehe Abschnitt 3.3.3.4
W9	Nordex	N163/6.X	164.0	0.0	Ja, siehe Abschnitt 3.3.3.4
W10	Nordex	N163/6.X	164.0	0.0	Ja, siehe Abschnitt 3.3.3.4
W11	Nordex	N163/6.X	164.0	0.0	Ja, siehe Abschnitt 3.3.3.4
W12	Nordex	N163/6.X	164.0	0.0	Ja, siehe Abschnitt 3.3.3.4
W13	Nordex	N163/6.X	164.0	0.0	Ja, siehe Abschnitt 3.3.3.4

4.2 Bestehende WEA

4.2.1 Nachweis der Standorteignung durch den Vergleich mit den Auslegungswerten

Die Bestands-WEA W14 und W22 weisen Überschreitungen der effektiven Turbulenzintensität nach der Richtlinie DIBt 2012 [1.1] auf. Durch einen Vergleich der Situation vor, mit der Situation nach dem geplanten Zubau konnte gezeigt werden, dass der geplante Zubau keinen signifikanten Einfluss auf die Standorteignung hinsichtlich der effektiven Turbulenzintensitäten der WEA W14 und W22 hat. Bei diesem Vergleich wurde die Erhöhung der effektiven Turbulenzintensität durch den Zubau und ggf. deren Einfluss auf die PEL nach [20] untersucht. Somit ist die Standorteignung hinsichtlich der effektiven Turbulenzintensität für diese WEA unter Maßgabe einer in deren Genehmigungsverfahren nachgewiesenen Standorteignung weiterhin nachgewiesen.

4.2.2 Nachweis der Standorteignung mittels Lastvergleich durch einen unabhängigen Gutachter

Eine durch einen unabhängigen Gutachter durchgeführte Berechnung der standortspezifischen Lasten [25] mittels eines generischen Lastmodells, kommt zu dem Ergebnis, dass die Standorteignung durch den Vergleich mit den Auslegungslasten der WEA W15 bis W21 über eine Lebensdauer von 20 Jahren auch nach Zubau der geplanten WEA und der durch diese verursachte Erhöhung der effektiven Turbulenzintensität und unabhängig von den in Abschnitt 3.3.3.4 aufgeführten sektoriellen Betriebsbeschränkungen nicht gefährdet ist.

Alle Informationen über das verwendete Lastmodell, berücksichtigte Unsicherheiten und die ermittelten Betriebsfestigkeitslasten können [25] entnommen werden. Die Ergebnisse und das verwendete generische Lastmodell in [25] werden als richtig, bzw. die zertifizierten Lasten der WEA konservativ abbildend vorausgesetzt. Alle Auflagen aus [25] sind zu berücksichtigen.

Die gutachtliche Stellungnahme [25] gilt nur, wenn der Typenprüfung der betrachteten WEA W15 bis W21 mindestens die folgenden, in Tabelle 4.2 dargestellten, Auslegungswindbedingungen zu Grunde liegen.

Tabelle 4.2: In [25] zu Grunde gelegte Auslegungswerte

Interne W-Nr.	Prüf-grundlage	$v_{ave,TP}$ [m/s]	k_{TP} [-]	TK	Auslegungs-lebensdauer τ_{TP} [a]
W15 – W21	DIBt 2012	7.5	2.4	S (siehe Seite 5)	20

4.2.3 Zusammenfassung

Die folgende Tabelle stellt die Ergebnisse zum Nachweis der Standorteignung der Bestands-WEA zusammenfassend dar.

Tabelle 4.3: Zusammenfassung der Ergebnisse Bestands-WEA

Interne W-Nr.	Hersteller	Anlagentyp	NH [m]	FEH [m]	Standorteignung gemäß DIBt 2012 nachgewiesen
W14	Nordex	N149/5700	164.0	0.0	Ja
W15	Nordex	N149/5700	164.0	0.0	Ja, siehe [25]
W16	Nordex	N149/5700	164.0	0.0	Ja, siehe [25]
W17	Nordex	N149/5700	164.0	0.0	Ja, siehe [25]
W18	Nordex	N149/5700	164.0	0.0	Ja, siehe [25]
W18	Nordex	N149/5700	164.0	0.0	Ja, siehe [25]
W20	Nordex	N149/5700	164.0	0.0	Ja, siehe [25]
W21	Nordex	N149/5700	164.0	0.0	Ja, siehe [25]
W22	Nordex	N133/4800	164.0	0.0	Ja

5 Standortbesichtigung

Entsprechend der Forderung in der Richtlinie DIBt Fassung Oktober 2012 [1.1] nach einer Standortbesichtigung wurde diese am 12.01.2021 durch einen Mitarbeiter der I17-Wind GmbH & Co. KG durchgeführt [23].

Die Standortbesichtigung dient zur Ermittlung, bzw. zum Abgleich von Geländebeschaffenheit mit vorhandenen Satellitendaten zur Rauigkeit [13] und ggf. zu den Höhenlinien [14]. Mögliche turbulenzrelevante Einzelstrukturen wurden untersucht und dokumentiert. Die Standortdokumentation bestätigt die zu Grunde gelegten Rauigkeiten und die Ergebnisse zur Komplexität.

Abkürzungs- und Symbolverzeichnis

Abkürzung	Bedeutung
BImSchG	Bundes-Immissionsschutzgesetz
DIBt	Deutsches Institut für Bautechnik
DIN	Deutsches Institut für Normung
EN	Europäische Norm
ETM	Extremes Turbulenzmodell
ETRS89	Europäisches Terrestrisches Referenzsystem von 1989
GK	Gauß-Krüger, Geländekategorie
IEC	International Electrotechnical Commission
NA	Nationaler Anhang
NTM	Normales Turbulenzmodell
PEL	Pseudo-Äquivalente-Last
pdf	Wahrscheinlichkeitsdichtefunktion
TK	Turbulenzkategorie, Auslegungsturbulenz
TP	Typenprüfung
UTM	Universal Transverse Mercator Projection
WEA	Windenergieanlage(n)
WGS84	World Geodetic System (letzte Revision in 2004)
WSM	Wind Sector Management, Sektorielle Betriebsbeschränkung
WZ	Windzone

Symbol	Bedeutung	Einheit
A	Skalenparameter der Weibullverteilung	[m/s]
C_{CT}	Turbulenzstrukturparameter	[-]
c_t	Schubbeiwert	[-]
D	Rotordurchmesser	[m]
FEH	Fundamenterrhöhung	[m]
I_{amb}	Umgebungsturbulenzintensität	[-]
i_c	Komplexitätsindex	[-]
I_{char}	Charakteristische Turbulenzintensität	[-]
I_{eff}	Effektive Turbulenzintensität auf Nabenhöhe	[-]
I_{rep}	Repräsentative Turbulenzintensität	[-]
k	Formparameter der Weibullverteilung	[-]
λ	Schnelllaufzahl	[-]
m	Wöhlerlinienkoeffizient	[-]
NH	Nabenhöhe	[m]
p	Sektorielle Häufigkeit	[%]
P_N	Nennleistung	[kW]
s	Dimensionsloser Abstand zwischen WEA, bezogen auf den jeweils größeren Rotordurchmesser	[-]
v_{ave}	Jahresmittel der Windgeschwindigkeit auf Nabenhöhe	[m/s]
v_{hub}	Windgeschwindigkeit auf Nabenhöhe	[m/s]
v_{in}	Einschaltwindgeschwindigkeit der WEA	[m/s]
v_{m50}	10-Minuten Mittelwert der 50-Jahres-Windgeschwindigkeit auf Nabenhöhe	[m/s]
v_{out}	Abschaltwindgeschwindigkeit der WEA	[m/s]
v_r	Nennwindgeschwindigkeit der WEA	[m/s]

Symbol	Bedeutung	Einheit
v_{ref}	Auslegungswert des 10-Minuten Mittelwerts der 50-Jahres-Windgeschwindigkeit	[m/s]
X	Rechtswert	[m]
Y	Hochwert	[m]
z_0	Rauigkeitslänge	[m]
z_{hub}	Nabenhöhe der betrachteten WEA	[m]
α	Höhenexponent	[-]
δ	Schräganströmung	[°]
ρ	Luftdichte	[kg/m ³]
σ	Standardabweichung der Windgeschwindigkeit	[m/s]
σ_{σ}	Standardabweichung der Turbulenzintensität	[-]

Literaturverzeichnis

- [1.1] *Deutsches Institut für Bautechnik – DIBt -, Berlin; Referat I 8 Bautechnisches Prüfamts Grundlagen der Standsicherheit; Richtlinie für Windenergieanlagen – Einwirkungen und Standsicherheitsnachweise für Turm und Gründung; Fassung Oktober 2012 und korrigierte Fassung März 2015;*
- [1.2] *DKE Deutsche Kommission Elektrotechnik Elektronik Informationstechnik; DKE/AK 383.0.01/Untergruppe DIBt2012 an die PG „Windenergieanlagen“ des DIBt; Anwendung der DIBt 2012 zur Prüfung der Standorteignung, 30.01.2015;*
- [2] *Deutsches Institut für Bautechnik – DIBt -, Berlin; Richtlinie für Windenergieanlagen – Einwirkungen und Standsicherheitsnachweise für Turm und Gründung; Fassung März 2004; Schriften des Deutschen Instituts für Bautechnik Reihe B, Heft 8;*
- [3] *Deutsches Institut für Bautechnik – DIBt -, Berlin; Richtlinie für Windkraftanlagen – Einwirkungen und Standsicherheitsnachweise für Turm und Gründung; Fassung Juni 1993; 2. Überarbeitete Auflage 1995; Schriften des Deutschen Instituts für Bautechnik Reihe B, Heft 8;*
- [4] *International Electrotechnical Commission (IEC); IEC 61400-1 Edition 2.0 International Standard Wind turbine generator systems – Part 1: Safety requirements;*
- [5] *International Electrotechnical Commission (IEC); IEC 61400-1 Edition 3.0 International Standard Wind turbines – Part 1: Design requirement; Mit Implementierung von 61400-1/A1, Amendment 1, 2009;*
- [6] *International Electrotechnical Commission (IEC); IEC 61400-1 Edition 4.0 International Standard Wind energy generation systems – Part 1: Design requirements; Februar 2019;*
- [7] *Deutsches Institut für Normung; DIN EN 61400-1:2011-08 Windenergieanlagen – Teil 1: Auslegungsanforderungen (IEC 61400-1:2005 + A1:2012); Deutsche Fassung EN 61400-1:2005 + A1:2010;*
- [8] *Deutsches Institut für Normung; DIN EN 61400-1:2004 Windenergieanlagen – Teil 1: Sicherheitsanforderungen (IEC 61400-1:1999); Deutsche Fassung EN 61400-1:2004;*
- [9] *Deutsches Institut für Normung; DIN EN 1991-1-4/NA:2010-12 mit DIN EN 1991-1-4:2010-12; Nationaler Anhang – Eurocode 1: Einwirkungen auf Tragwerke – Teil 1-4: Allgemeine Einwirkungen: Windlasten;*
- [10] *ECN Solar & Wind Energy, J.W.M. Dekker und J.T.G. Pierik [Hrsg.]: European Wind Turbine Standards II, Petten, (NLD), 1998;*
- [11] *Deutsches Institut für Bautechnik; Windzonen nach Verwaltungsgrenzen; Windzonen_Formular_nach_Verwaltungsgrenzen.xlsx; Stand 27.09.2018;*
- [12] *European Wind Atlas, Risø National Laboratory, Roskilde (DK), 1989 Troen, Ib; Petersen, Erik L.;*
- [13] *European Environment Agency; Corine Land Cover (CLC) 2012, Version 18.5.1; Veröffentlicht am 19.09.2016;*
- [14] *U.S. Geological Survey Earth Resources Observation & Science Center (EROS); SRTM 1 Arc-Sec Global; Download am 02.12.2016;*
- [15] *Risø DTU National Laboratory for Sustainable Energy, Windfarm Assessment Tool Version 3.3.0.128;*
- [16] *Frandsen, Sten T. (2007): Turbulence and turbulence-generated structural loading in wind turbine clusters. Roskilde (DK);*

-
- [17] *EMD International A/S; WindPRO / ENERGY; Modelling of the variation of air density with altitude through pressure, humidity and temperature; 12.05.2014;*
- [18] *EMD online Katalog oder Anlagendokumentation der Hersteller;*
- [19.1] *OpenStreetMap und Mitwirkende; SRTM | Kartendarstellung: OpenTopoMap (CC-BY-SA); Siehe auch: <https://creativecommons.org>;*
- [19.2] *Microsoft Corporation; © 2019 Digital Globe © CNES (2019) Distribution Airbus DS; Siehe auch: <https://www.microsoft.com/en-us/maps/product>;*
- [20] *Rodenhausen M., Moser W., Hülsmann C., Bergemann C., Könker M., McKenna R.; Prüfung der Standorteignung für Windenergieanlagen: Ein pragmatischer Ansatz; Ernst & Sohn Verlag für Architektur und technische Wissenschaften GmbH & Co. KG, Berlin. Bautechnik 93 (2016) Heft 10;*
- [21] *SAB WindTeam GmbH; E-Mail mit dem Betreff: "S3 Paket Revison - WP Fretzdorfer Heide - 11313802" vom 27.02.2023; Daten zur Verfügung gestellt in WakeGuard® Layout-ID: 2131655;*
- [22.1] *UL International GmbH; WINDPOTENZIAL UND ENERGIEERTRAGSERMITTLUNG; Ref. Nr. UL-GER-WP19-12344890-01; 11.04.2019;*
- [22.2] *entfällt;*
- [23] *I17-Wind GmbH & Co. KG; Standortdokumentation für ein Gutachten zur Standorteignung nach DIBt 2012 für den Windpark Fretzdorfer Heide; Bericht-Nr.: I17-SV-2021-081; 28.04.2021;*
- [24] *Nordex Energy SE & Co. KG; Design Information for Wind & Site Assessment N163/6.X (7.0 MW) Delta 50Hz NCV TCS164B-03 DIBt / IEC S; 14.02.2023;*
- [25] *8.2 Ingenieure BW GmbH; Standsicherheitsnachweis 8x WEA N149/5700, NH 164 m, am Standort Fretzdorfer Heide (WEA EW1 – EW8); 8p2_234960_SLA_Fretzdorf_23-03_rep_R1; 24.03.2023;*